凍土の破壊規準線とせん断強さの評価 一凍土設計データベースの整備(その5) -

鹿島建設(株) 正会員 ○辻 良祐 吉田 輝 田口翔大 ケミカルグラウト(株) 正会員 相馬 啓 長田友里恵 北海道大学 正会員 西村 聡

1. はじめに

凍結工法は、高水圧下においても高い安全性と止水性を有する掘削防護工として活用されている。筆者らは様々な地盤や改良土を対象とした凍土試験を体系的に行い、凍土物性値のデータベース化¹⁾を進めている。その一環として凍土の破壊規準線について検討したので報告する。

2. 目的

図ー1 は凍土の一軸圧縮強さ q_u および曲げ引張強さ σ_{bt} 、非拘束せん断強さ τ_{f0} の幾何学的関係の概念図である (本報では q_u 、 σ_{bt} はピーク強さとする)。このうち τ_{f0} は、 $[q_u$ を直径とする一軸圧縮破壊時モール応力円」と $[\sigma_{bt}$ を直径とする曲げ引張破壊時モール応力円」の両者に接する破壊規準線の縦軸切片(直応力が 0 の

時のせん断強さ)である。破壊規準線を勾配 $\tan \phi$ (ϕ は 内部摩擦角)の直線(Mohr-Coulomb 規準)と仮定すれば、式 (1)、式 (2) で直線を描くことができる。この提案式が妥当であれば q_u および o_{bt} から、式 (1)、式 (2) を用いて、 $tan \phi$ 、to を求めることができる。

$$\tan \phi = \frac{q_u - \sigma_{bt}}{2\sqrt{q_u \cdot \sigma_{bt}}} \qquad \dots \stackrel{}{\Longrightarrow} \qquad (1)$$
$$\tau_{f0} = \frac{\sqrt{q_u \cdot \sigma_{bt}}}{2} \qquad \dots \stackrel{}{\Longrightarrow} \qquad (2)$$

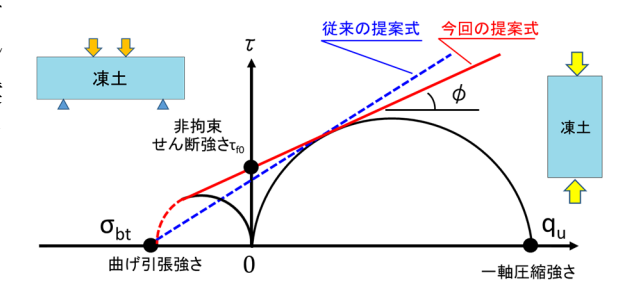


図-1 各強度の関係と破壊規準線

ここで、 q_u と σ_{bt} は正の値とする。今回、上記の方法で破壊規準線および τ_{t0} を求めることの妥当性を実験的に検討した。なお、前報 $^{1)}$ では $\mathbf{Z}-\mathbf{1}$ 中の引張側のモール円を考慮せず、点 $(\sigma_{bt}, \mathbf{0})$ 点を通る破壊規準直線を仮定していたが、今回、理論的により明快な

形に修正した。なお、曲げ引張破壊時モール円と破壊規準直線との接点より引張側の破壊規準線は、曲げ引張破壊時モール円と同じ円弧を仮定(図-1中の赤点線)しているが、その妥当性の検証は今後の課題である。



試料の物理的性質

表-1

3. 試料および試験方法

3.1 試料

試料には市販の君津砂と木節粘土を使用した。各試料の物理的性質を表-1、粒径加積曲線を図-2に示す。各試験の供試体は、凍結後の乾燥密度が君津砂 1.60g/cm³、木節粘土 1.50g/cm³ となり、かつ飽和度が 100%を目標として作製した。

3.2 試験方法

同一の試料、温度において一軸圧縮試験、曲げ試験、傾斜型一面

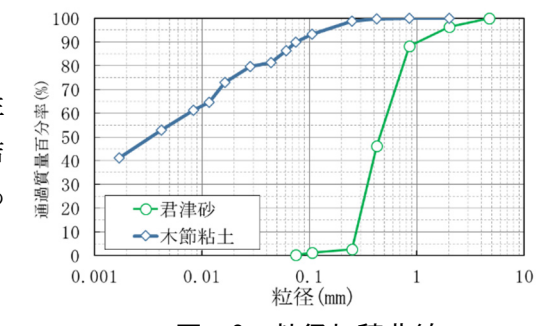


図-2 粒径加積曲線

キーワード 凍結工法 凍結強度 せん断強さ

連絡先 〒182-0036 東京都調布市飛田給 2-19-1 鹿島建設(株)技術研究所 TEL042-489-6481

せん断試験1)(以下、せん 断試験)を実施した。各試 験の供試体寸法(JIS A 1216:2009)、曲げ試験は モルタルの試験方法(JIS R 5201:2015) に準じて実 施した。せん断試験は図ー 3 に示すように型枠ごと 軸方向に圧縮してスリッ ト沿いに滑り破壊させ、滑 り面上のピーク応力 D

各試験の供試体寸法と載荷方法 一軸圧縮 試験名 曲げ せん断 P/2 P/2 載荷板 載荷板 型枠 供試体寸法 16cm • 載荷方法 H=10cm H=10cm L=12cm $\theta = 45,60^{\circ}$ 2cm, 4cm , 4cm , 4cm \oplus $\phi = 5 \text{cm}$ $\phi = 5 \text{cm}$ 断面積A=π φ 2/4 Mmax=PL/2 断面積A=π φ ²/4 軸圧縮応力qu*=P/A 滑り面面積A'=A/cosθ 曲げ引張強度 σ bt=Mmax/Z

 $Z=B \cdot H^2/6$

 (σ,τ) を求めた。このピーク応力 D は、図-3 中の $\sigma-\tau$ 平面上において軸圧縮応力のピーク値 q_u^* (見掛け の一軸圧縮強さ)を用いた破壊時モール円と、原点 0 から σ 軸に対し滑り面の傾斜角 θ で引いた直線との交 点に位置する。 θ は 60° 、 45° の 2 通りとした。各試験とも型枠に試料を充填して試験温度(- 10° Cまたは-20℃)の冷凍庫内で24時間以上凍結させた後、脱型・整形して使用した。

一軸圧縮強度qu=P/A

4. 試験結果

各試験の結果を図-4、図-5に示す。図中の円 はそれぞれ quおよび obt の平均値に基づく破壊時 モール応力円であり、破壊規準線を両者に接する 直線として描いた。図-4、図-5に示すように各 強度は温度低下とともに増加することが確認で きた。また、せん断試験による破壊時応力状態(図 -3 の D 点)が新たな提案式による直線と良く 整合した。このことから、新たな提案式は破壊規 準線として妥当であり、式(1)、式(2)からtan φおよび τω を算出可能であることがわかった。

強度計算式

5. 結論

-10℃~-20℃の温度範囲の凍土強度(ピーク 強さ) について以下の知見を得た。

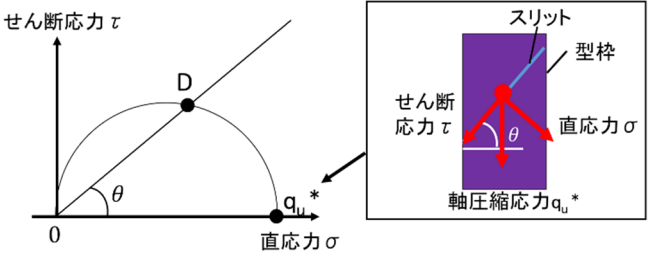
- ①凍土の破壊規準線は、今回提案した直線とみな すことができる。
- ②凍土の非拘束せん断強さは、破壊規準線上の直 応力 $\sigma=0$ の点として q_u 、 σ_{bt} から算出できる。

6. おわりに

実務設計では凍土のピーク強さではなく、降伏 強さを慣用しているため、上記の知見が降伏強さ でも成立するか検討する予定である。

参考文献

1) 吉田輝ら: 凍土の一軸圧縮・曲げ引張・せん断



滑り面応力D(σ,τ)

 $\sigma = qu^* \cos \theta / A'$

図-3 傾斜型-面せん断試験

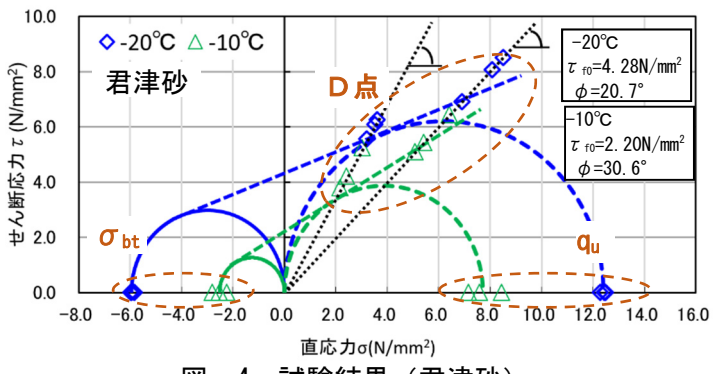


図-4 試験結果 (君津砂)

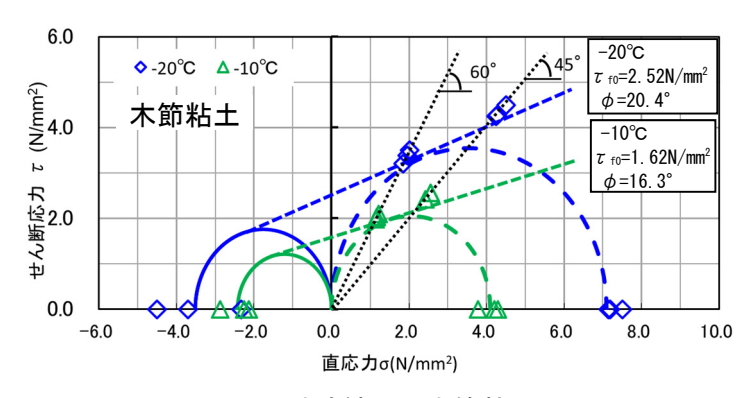


図-5 試験結果(木節粘土)

強さの一括評価-凍土設計データベースの整備(その 1)-, 第 53 回地盤工学研究発表会, pp.456_457, 2018.